

## II-154 開水路浮遊砂流の乱れ特性に関する実験的研究(3)

京都大学防災研究所 正員 大年邦雄  
 京都大学防災研究所 正員 今本博健  
 京都大学大学院 学生員 西園恵次

### 1. はじめに

本報告は、従来の研究<sup>1),2)</sup>に引き続き、開水路浮遊砂流の乱れ特性について実験的に検討したものである。とくに路床近傍から水面近傍にいたる乱れ特性について、清水流と浮遊砂流とを比較したものである。

速度計測にはコニカル型ホットフィルム流速計を用い、流速計の設定位置の読み取りには1/100 mm読みのダイアルゲージを併用している。なお、本実験における水理条件は表-1のようであり、浮遊砂には珪砂7号（平均粒径 $d_m = 0.0159 \text{ cm}$ ）を用いている。

### 2. スペクトル特性

流れ方向の乱れ速度に関する波数表示の1次元エネルギースペクトル $S(k)$ を示すと図-1(a)（滑面）および図-1(b)（粗面：粗度高 $ds = 0.61 \text{ cm}$ ）のようになる。なお、スペクトル計算は、データ数 $N = 500$ とし、サンプリング周波数 $f_s = 25, 100, 500 \text{ Hz}$ それぞれに対する繰返し数 $N_r = 2, 4, 8$ の3種を用いて行われている。まず滑面上の浮遊砂流における $S(k)$ についてみると、相対水深 $y/H = 0.15$ では、浮遊砂濃度 $C_m$ が比較的高くなると清水流におけるものより全体的に大きくなり、 $C_m$ の大きな浮遊砂流ほど大きな乱れエネルギーをもつことが認められるが、 $y/H = 0.3$ では、いずれの $C_m$ に対する $S(k)$ もほぼ同程度の大きさである。清水流との顕著な差は見出せない。このような傾向は粗面に対するものについてもほぼ同様である。

このように、 $C_m = 4500 \text{ ppm}$ 程度でも路床近傍ではかなりの高濃度となるため、スペクトル特性に顕著な変化を生じるので、路床面から離れるにしたがって清水流のスペクトルに漸近する傾向のあることが確認される。

表-1

Run No.	Q (l/s)	H (cm)	I ( $\times 10^4$ )	Re	Ff	Cm (ppm)	ds (cm)
A	6.57	2.60	1/50	1.52	1.25	4500	0.61
B	6.51	2.35	1/68	1.52	1.45	4600	0

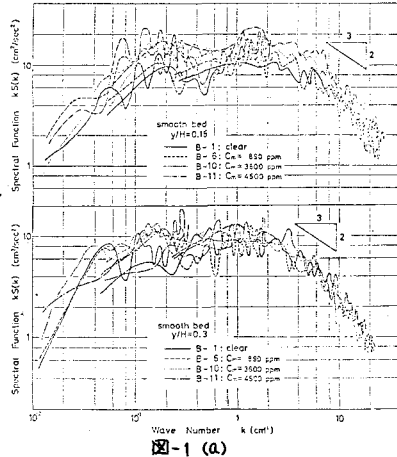


図-1 (a)

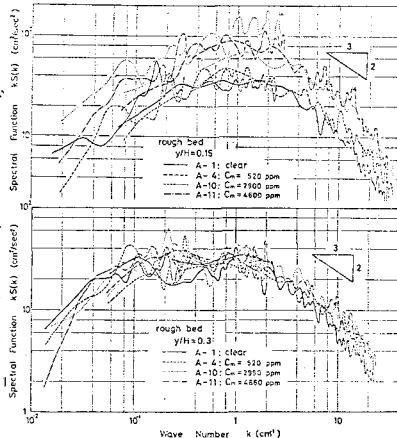


図-1 (b)

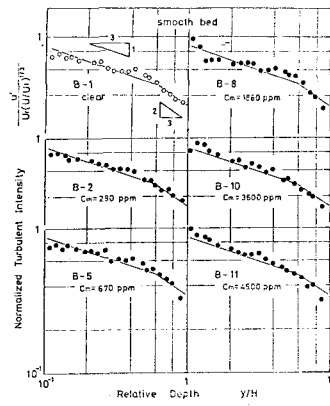


図-2 (a)

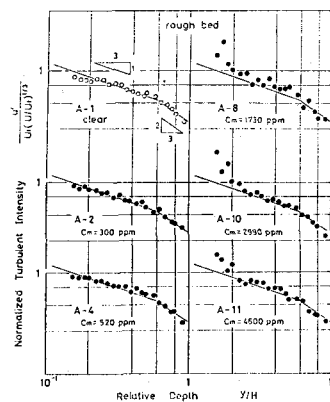


図-2 (b)

### 3. 亂れ特性量の鉛直分布

基本的な乱れ特性量として、乱れの強さ'、時間的平均スケールEおよびエネルギー透散率Eの3種を取上げ、それらの鉛直分布を清水流におけるものと比較検討する。なお、これら3量はともに次のようにして算定され<sup>3)</sup>。'については、Uのt.m.s. 値より、Eは相関係数に認められる second mild · maximum の発生遅れ時間より、Eはスペクトルの慣性領域に相似則  $S(k) = S_0 E^{4/3} k^{-5/3}$  を適用し、 $S_0 = 0.47$  として算定され<sup>3)</sup>。

ところが、今本ら<sup>3)</sup>は清水流における乱れ特性量を普遍関数表示し、との実験式として次式を提案して<sup>3)</sup>。

$$i) 0.1 < y/H \leq 0.6, ii) 0.6 < y/H < 0.9$$

$$\frac{u'}{U_f(U/U_f)^{1/3}} = 0.42 \left( \frac{y}{H} \right)^{-1/3} \quad 0.35 \left( \frac{y}{H} \right)^{-2/3}$$

$$\frac{T_E}{H/U_f} = 0.115 \quad 0.115$$

$$\frac{E}{U_f^3/H} = 1.1 \left( \frac{y}{H} \right)^{-1} \quad 0.63 \left( \frac{y}{H} \right)^{-2}$$

これらの普遍関数表示を用ひて、本実験の計測結果を検討すると次のようである。

図-2~4の(a)は、それぞれ滑面に対する'、EおよびEを上式に基づいて普遍関数表示したものである。なお、それぞれの図における実線あたりは破線は全て清水流に対するものである。'およびEについてみると、C\_mが比較的高くなると、y/H < 0.2 の領域で清水流におけるものより大きめに過大化し、この領域では'およびEがかなり大きくなるが、y/H > 0.2 の流れの大部分の場では清水流におけるものと顕著な変化を示して<sup>3)</sup>ない。次にT\_Eについてみると、計測値はかなりばらつけるが、C\_mが変化してもT\_Eにはさしたる変化が現われて<sup>3)</sup>ないようである。以上のような傾向は図-2~4の(b)に示された粗面に対するものからも同様に見出され、y/H < 0.2 の領域では、C\_mの増加に伴って'およびEが清水流のものより大きくなり、T\_Eはほぼ全水深にわたりほとんど変化しないことが認められる。

以上のように、開水路浮遊砂流の乱れ特性は、路床近傍(本実験ではy/H < 0.2)において顕著に変化し、それ以外の領域では清水流のものに極めて類似して<sup>3)</sup>いることが明らかにされた。

今後は開水路中立柱浮遊流の乱れ特性を実験的に検討し<sup>3)</sup>やく予定である。

#### 参考文献

- 1) 今本・浅野・石垣：開水路浮遊砂流の乱れ特性に関する実験的研究(1)，関西支部年譲，II-29，1977.
- 2) 浅野・今本・大年：開水路浮遊砂流の乱れ特性に関する実験的研究(2)，年譲，II-150，1977.
- 3) 今本・浅野：開水路流れにおける乱れの普遍的特性について，第19回水理講演会，pp. 161~166，1978.

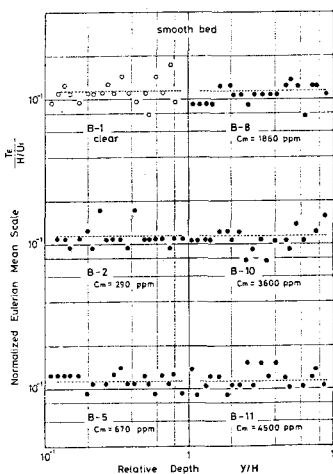


図-3 (a)

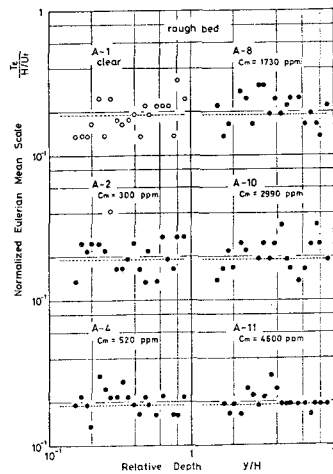


図-3 (b)

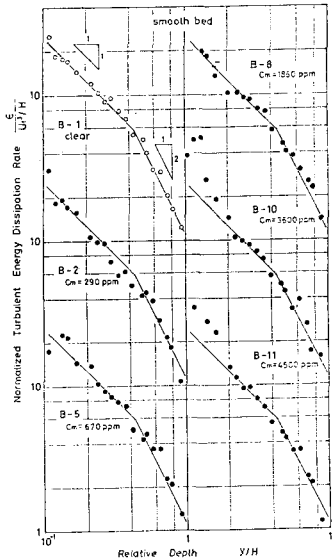


図-4 (a)

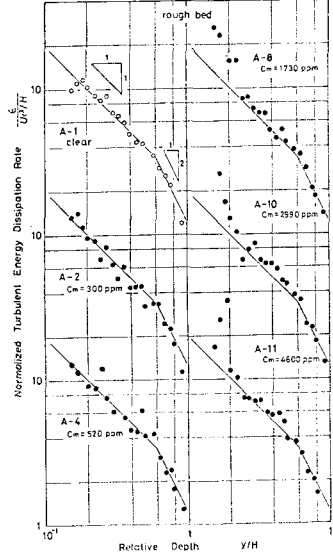


図-4 (b)